



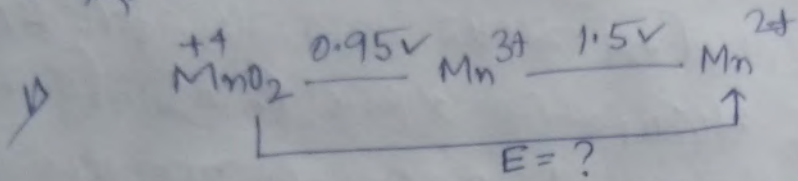


□ Latimer diagram से आशय विभिन्न वातन-विवातन विद्युत संक्रमण-संक्रमण का है,

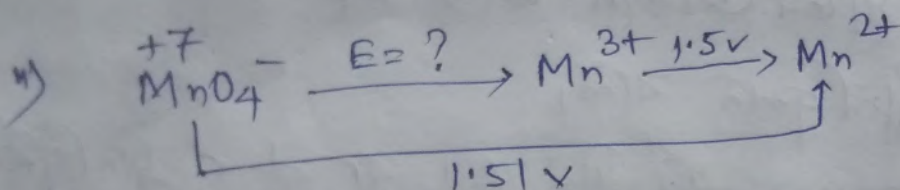
$$E = \frac{n_1 E_1 + n_2 E_2}{n_1 + n_2} \quad \text{आशय आशय,}$$

अतः  $n$  वृत्त में (लेखक) में  $n$  वृत्त में  $E =$  विवातन-विद्युत,

उदाहरण:-

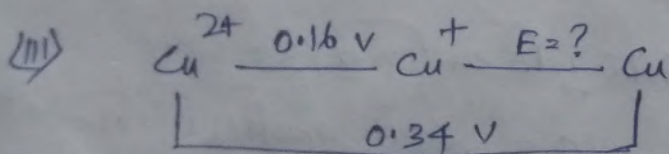


$$E = \frac{(1 \times 0.95) + (1 \times 1.5)}{(1+1)} = 1.23\text{V}$$



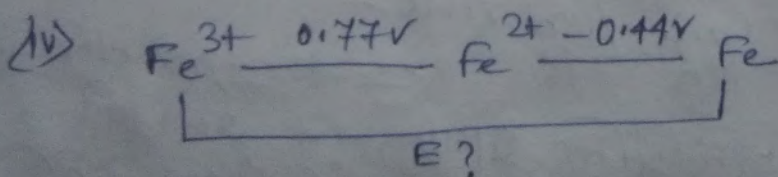
$$1.51 = \frac{(4 \times E) + (1 \times 1.5)}{(4+1)}$$

$$\Rightarrow E = 1.512\text{V}$$



$$0.34 = \frac{(1 \times 0.16) + (1 \times E)}{(1+1)}$$

$$\Rightarrow E = 0.52\text{V}$$



$$E = \frac{(1 \times 0.77) + (2 \times (-0.44))}{2+1} = 0.036 \approx 0.04$$



সর্বমুখ্যতঃ দুটি ভিন্ন ভিন্ন ধরনের চৌম্বকীয় বস্তু রয়েছে।  
 (1) diamagnetic - অপরচৌম্বক (2) paramagnetic - পরচৌম্বক,  
 যখন কোনো চৌম্বকীয় বাহ্যিক ক্ষেত্র magnetic field এর উপস্থিতিতে  
 বস্তুটির চৌম্বকীয় ধর্ম  $\mu$  হ্রাস পায়।  $\mu < \mu_0$ ।  
 এখানে induced circulation (ধ্রুত) এর কারণে magnetic moment তৈরি হয়  
 যা বাহ্যিক magnetic field এর বিপরীত  
 মুখী হয়। একে diamagnetic ধর্ম বলে। এই ধর্মের কারণে  
 চৌম্বকীয় field দুই দিকের বিপরীত হয়,  $\mu < \mu_0$ ।  
 উদাহরণ: paired electron.

আবার paramagnetism তৈরি হয় চৌম্বকীয় ক্ষেত্রের  
 unpaired ইলেকট্রন থাকলে, ইলেকট্রনের spin এবং orbital  
 motion এর কারণে চৌম্বকীয় মুহূর্ত magnetic moment  
 তৈরি হয়, যা বাহ্যিক magnetic field (চৌম্বকীয় ক্ষেত্র)  
 সঙ্গতভাবে আকর্ষিত (parallel) হয়। এখানে চৌম্বকীয় ক্ষেত্রের  
 সাথে চৌম্বকীয় আকর্ষিত হয়।

সর্বমুখ্যতঃ দুই paramagnetic effect অনেকগুলি  
 হয়, diamagnetic effect অনেকগুলি, তবে কোনো চৌম্বকীয় বস্তু  
 একটি মাত্র unpaired ইলেকট্রন থাকে, তবে সর্বমুখ্যতঃ চৌম্বকীয়  
 paramagnetic হয়।

অন্যভাবে মিলিয়ে মিলিয়ে অনেকগুলি paramagnetic হয় যেমন  
 আয়রন (Fe) unpaired ইলেকট্রন থাকে,  $\mu > \mu_0$ ।  
 magnetic moment এর মান প্রায়শই  $\mu_B$  unpaired  
 ইলেকট্রন আছে তাই উদাহরণ নিচের মতো।

(कोणीय पिंडित अदि 'n' अंश)क unpaired electron अंशक  
 spin magnetic moment अंश अंश अंश =

$$\mu_s = \sqrt{n(n+2)} \text{ BM} \quad (\text{BM} = \text{Bohr Magnetron})$$

$$= \sqrt{4S(S+1)} \text{ BM} \quad (S = \text{total spin quantum number})$$

अंश orbital angular momentum,

$$\mu_L = \sqrt{L(L+1)} \quad L = \text{total orbital angular momentum quantum no.}$$

अंश

$$\mu_{\text{total}} = \mu_{\text{SHL}} = \sqrt{4S(S+1) + L(L+1)}$$

किन्तु अदि अदि अदि अदि, अदि अदि अदि 3d-अदि अदि अदि  
 $\mu_L$  अंश अंश अंश अंश, अंश अंश magnetic moment  
 अंश अंश spin magnetic moment अंश अंश अंश अंश,

unpaired electrons अंश अंश	magnetic moment (BM)	Total spin quantum no.
1	$\sqrt{1(1+2)} = \sqrt{3} = 1.73$	$\frac{1}{2}$
2	$\sqrt{2(2+2)} = \sqrt{8} = 2.83$	$\frac{1}{2} + \frac{1}{2} = 1$
3	$\sqrt{3(3+2)} = \sqrt{15} = 3.87$	$\frac{1}{2} + \frac{1}{2} + \frac{1}{2} = \frac{3}{2}$
4	$\sqrt{4(4+2)} = \sqrt{24} = 4.90$	$4 \times \frac{1}{2} = 2$
5	$\sqrt{5(5+2)} = \sqrt{35} = 5.92$	$5 \times \frac{1}{2} = \frac{5}{2}$
6	$\sqrt{6(6+2)} = \sqrt{48} = 6.9$	$6 \times \frac{1}{2} = 3$

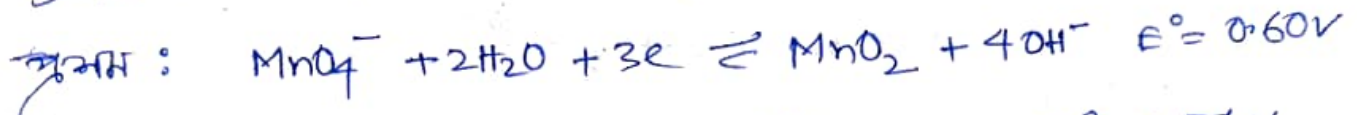
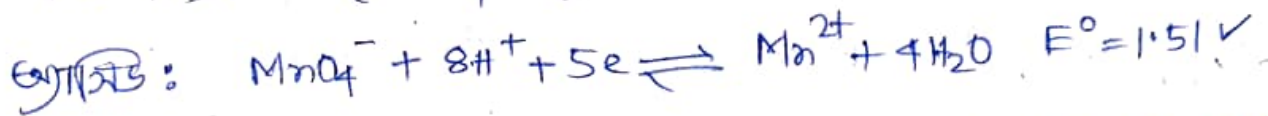
# Manganese (Mn)

\* ইলেকট্রন বিন্যাস  $[Ar] 3d^5 4s^2$

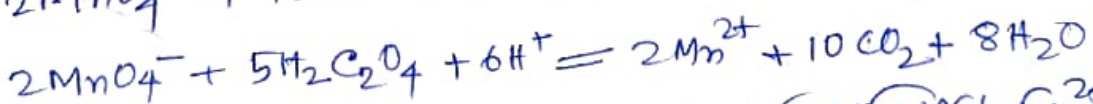
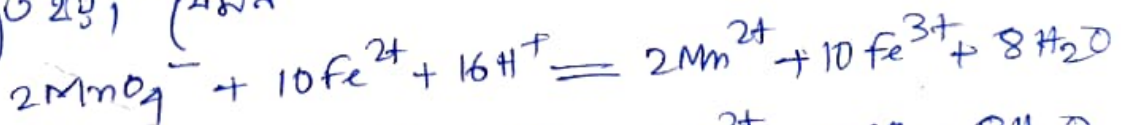
\* জারণ অঙ্ক (oxidation state)

সাধারণত +2 (যদি +7 পর্যন্ত জারণ অঙ্ক দেখায়) +2 শনে  
 প্রবলতম অক্সী জারণ অঙ্ক, অক্সীকরণ ক্ষমতি  $Mn^{2+}$  জায়গি ২য়  $MnO_2$   
 ট্রিসম্পন্ন করে।  $KMnO_4$  ১ Mn এর জারণ অঙ্ক ২নে +7, যা অক্সিজেন  
 জারণ প্রয়োগ হিসাবে কাজ করে।

$KMnO_4$  অক্সিড, প্রমাণ ১ক অক্সীকরণ-জিওকি সাক্ষিমিত্তে  
 জারণ প্রয়োগ হিসাবে কাজ করে।



\* অক্সিড সাক্ষিমিত্তে সাক্ষিমিত্তে অক্সিমিত্তে quantitative analyses -  
 ক্রমক্রম ২য়, মিশ্রন



জিওকি সাক্ষিমিত্তে ক্রমক্রম (কোনো প্রকারে ৬টি সাক্ষিমিত্তে  $Fe^{2+}$  অক্সিমিত্তে  
 ১ক অক্সিমিত্তে অক্সিমিত্তে ১ অক্সিমিত্তে অক্সিমিত্তে সাক্ষিমিত্তে সাক্ষিমিত্তে  
 ১ক  $MnO_4^-$  অক্সিমিত্তে জারণ প্রয়োগ হিসাবে অক্সিমিত্তে

\*  $MnO_4^-$  ক্রমক্রম জারণ সাক্ষিমিত্তে অক্সিমিত্তে হিসাবে  $HCl$  ক্রমক্রম  
 ক্রমক্রম অক্সিমিত্তে জারণ  $MnO_4^-$  ক্রমক্রম অক্সিমিত্তে জারণ সাক্ষিমিত্তে  
 ২য়  $Cl^-$  অক্সিমিত্তে  $Cl_2$  ক্রমক্রম ক্রমক্রম, অক্সিমিত্তে অক্সিমিত্তে  
 ১ অক্সিমিত্তে সাক্ষিমিত্তে সাক্ষিমিত্তে ক্রমক্রম অক্সিমিত্তে অক্সিমিত্তে  
 সাক্ষিমিত্তে হিসাবে  $H_2SO_4$  ক্রমক্রম ক্রমক্রম, অক্সিমিত্তে  $MnO_4^-$   
 ক্রমক্রম  $Fe^{2+}$  ক্রমক্রম জারণ সাক্ষিমিত্তে জিওকি সাক্ষিমিত্তে - ক্রমক্রম ক্রমক্রম  
 ক্রমক্রম ক্রমক্রম ২য় ২নে  $MnSO_4$ ,  $H_3PO_4$  ক্রমক্রম  $H_2SO_4$  ক্রমক্রম মিশ্রন,  
 $2MnO_4^- + 10Cl^- + 16H^+ \rightleftharpoons 2Mn^{2+} + 5Cl_2 \uparrow + 8H_2O$



\* low spin complex formation is favored by strong field ligands. In weak field ligands, the complex formed is high spin. In strong field ligands, the complex formed is low spin.

ওয়ে high spin complex গঠিত হয়।  
 উচ্চ spin complex গঠিত হয়।  
 উচ্চ spin complex গঠিত হয়।

(1)  $Mn^{II}$  complex formation  $[Ar] 3d^5$

উচ্চ spin  $\uparrow \uparrow \uparrow \uparrow \uparrow$  এই ক্রিয়ায় উচ্চ spin complex গঠিত হয়।

উচ্চ spin  $\uparrow \uparrow \uparrow \uparrow \uparrow$  এই ক্রিয়ায় উচ্চ spin complex গঠিত হয়।

(2)  $Fe^{II}$  complex formation  $[Ar] 3d^6$

উচ্চ spin  $\uparrow \uparrow \uparrow \uparrow \uparrow \uparrow$  এই ক্রিয়ায় উচ্চ spin complex গঠিত হয়।

উচ্চ spin  $\uparrow \uparrow \uparrow \uparrow \uparrow \uparrow$  এই ক্রিয়ায় উচ্চ spin complex গঠিত হয়।

উচ্চ spin complex গঠিত হয়।  
 high spin complex গঠিত হয়।  
 low spin complex গঠিত হয়।  
 magnetic moment গঠিত হয়।

□  $Mn^{2+}$  (aq) - प्रकृतिक रूप से अस्थिर है, क्योंकि  $MnO_4^-$  बन जाता है।  $Mn^{2+}$  में  $d^5$  इलेक्ट्रॉन विन्यास है  $t_{2g}^3 e_g^2$ , जो  $d-d$  प्रक्रमण के लिए अनुकूल है, इसलिए  $d-d$  प्रक्रमण  $spin$  state बदलने से, जो  $d-d$  प्रक्रमण  $forbidden$  है, बन जाता है।

असंतुलित  $MnO_4^-$  में  $Mn$  की ऑक्सीकरण अवस्था  $Mn(VII)$  है।  $d^0$  इलेक्ट्रॉन विन्यास है  $t_{2g}^0 e_g^0$ ।  $d-d$  प्रक्रमण नहीं है।

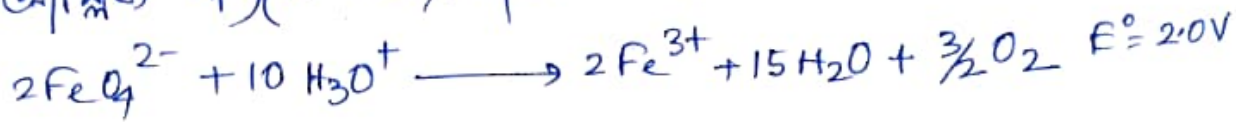
जो  $d^2$  आयन (जैसे  $Mn(VII)$ ) आयन  $d^0$  इलेक्ट्रॉन विन्यास है।  $d-d$  प्रक्रमण नहीं है।  $LMCT$  है।  $spin$   $Laporte$  allowed प्रक्रमण, जो  $spin$   $Laporte$  allowed प्रक्रमण है।

Iron (Fe)

\* ইলেকট্রন বিন্যাস  $[Ar] 3d^6 4s^2$

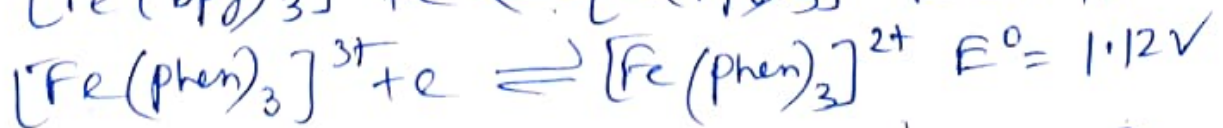
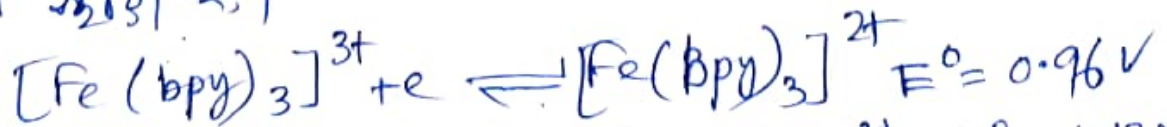
\* জারণসংখ্যা (oxidation state)

সর্বাধিক +2, +3 এবং +3 জারণসংখ্যা (দেখা যায়), যে +2 জারণসংখ্যা  
 সবচেয়ে স্থায়ী হয় এবং +3 জারণসংখ্যা অধিকার করে।  
~~কিন্তু~~ ধর্ম দেখায় উচ্চ জারণসংখ্যা হিসাবে +6 দেখায় যা  
 শীঘ্র কার্যকর ক্ষমতা হিসাবে কাজ করে, যেমন  $Na_2FeO_4, K_2FeO_4$   
 $FeO_4^{2-}$  অ্যান্ড, অ্যাক্সিডে ~~এ~~ ~~সামান্য~~ ~~সাধারণ~~ ~~স্থায়ী~~ ~~লিগ~~ ~~সম্ম~~  
 এ অক্সিক সাধারণ অক্সিজেনযুক্ত হয়  $Fe(III)$  এ পরিণত হয়



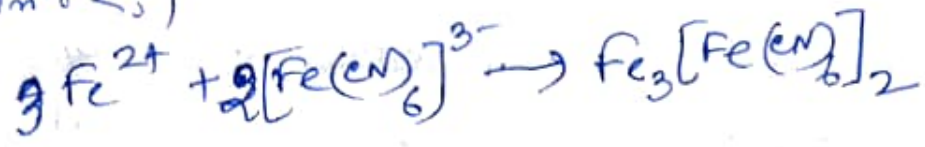
\*  $Fe(III)$  অ্যান্ড  $d^5$  - হাই স্পিন ডিফিল্ড ও 0-সমান (প্রাকৃতিক অর্ধ পূর্ণ)  
 স্থায়ী low-spin যৌগ গঠন করে,  $[Fe(bpy)_3]^{3+}$  এবং  $[Fe(phen)_3]^{3+}$   
 এই যৌগগুলি স্থায়ী হয়।

এছাড়াও  $Fe(II)$  অ্যান্ড  $[Fe(bpy)_3]^{2+}$  এবং  $[Fe(phen)_3]^{2+}$   
 স্থায়ী low spin যৌগ গঠন করে কিন্তু প্রকৃতি লাল এবং হয়।  
 $Fe(II)$  অ্যান্ড অ্যান্ড,  $Fe(III)$  এর অধিকার দেখা যায়  $Fe(II)$  অ্যান্ড  
 $Fe(III)$  অ্যান্ড তালি  $\pi$ -দাতা হিসাবে কাজ করে যখন  $bpy$  or  
 $phen$  এর মত তালি  $\pi$ -গ্রহীতা লিগ্যান্ডের সাথে যুক্ত  
 থাকে স্থায়ী হয়।

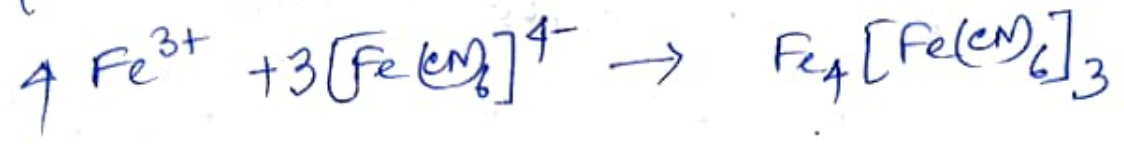


\*  $Fe^{2+}$  অ্যান্ড অ্যান্ড  $d^6$  হাই স্পিন ডিফিল্ড,  $Fe^{2+}$  অ্যান্ড অ্যান্ড  
 লিগ্যান্ডের মধ্যকার অ্যান্ড  $bpy$  or  $phen$  লিগ্যান্ড ইলেকট্রন দান করে  
 থাকে। যখন MLCT এনে, এই transition এর অ্যান্ড অ্যান্ড  
 অ্যান্ড-নীল রঙের অ্যান্ড অ্যান্ড অ্যান্ড অ্যান্ড অ্যান্ড অ্যান্ড অ্যান্ড

\* -  $K_3[Fe(III)(CN)_6]$  (potassium ferricyanide) is a complex where Fe(III) is coordinated to 6 CN<sup>-</sup> ligands. It is a low spin complex. The color is deep blue, known as Turnbull's blue. It is formed by the reaction of Fe<sup>2+</sup> and  $[Fe(III)(CN)_6]^{3-}$ .



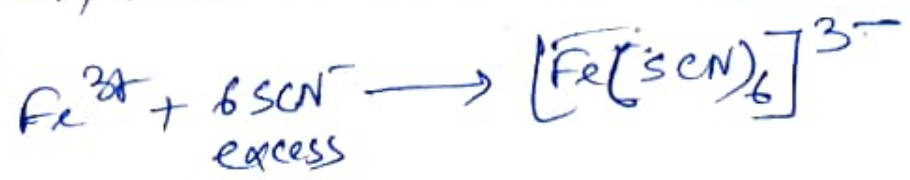
\* -  $K_4[Fe(II)(CN)_6]$  (potassium ferrocyanide) is a complex where Fe(II) is coordinated to 6 CN<sup>-</sup> ligands. It is a low spin complex. The color is deep blue, known as Prussian blue. It is formed by the reaction of Fe<sup>3+</sup> and  $[Fe(II)(CN)_6]^{4-}$ .



\*  $K_3[Fe(III)(CN)_6]$  (potassium ferricyanide) is a low spin complex. The ground state term symbol is  $[Ar] 3d^5$  or  $t_{2g}^5 e_g^0$ . The magnetic moment is 1.73 BM. It is a low spin complex.

\*  $K_4[Fe(II)(CN)_6]$  (potassium ferrocyanide) is a low spin complex. The ground state term symbol is  $t_{2g}^6 e_g^0$ . It is a diamagnetic complex.

\*  $Fe^{2+}$  reacts with  $SCN^-$  to form various complexes. The most common is  $[Fe(SCN)_6]^{2+}$ . Other complexes include  $[Fe(SCN)_2(H_2O)_4]^+$ ,  $[Fe(SCN)_3(H_2O)_3]$ , and  $[Fe(SCN)_4]^{2-}$ . The color of these complexes is blood red.

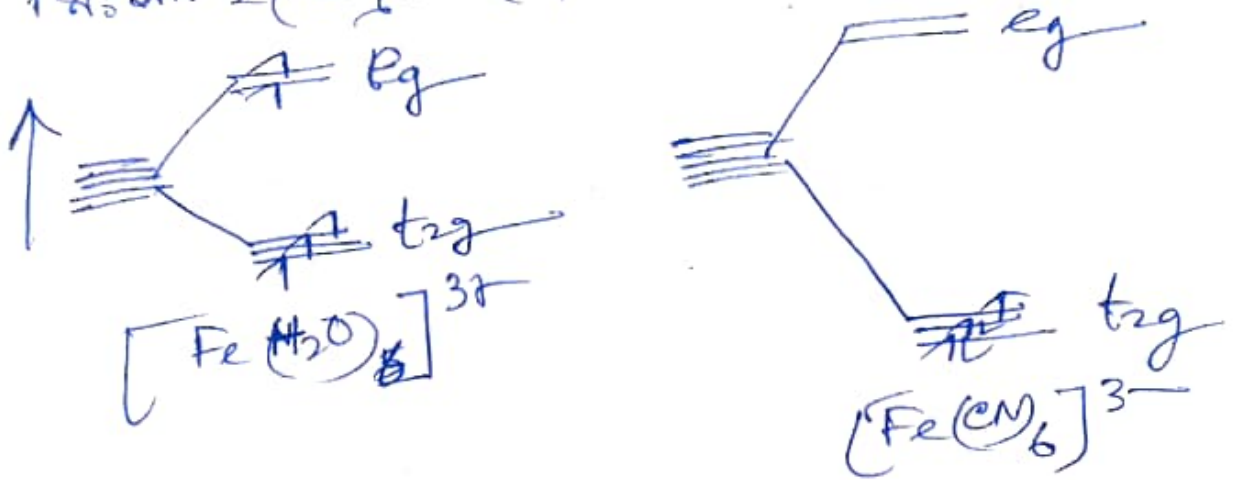




□  $[Fe(H_2O)_6]^{3+}$  এর Magnetic moment  $[Fe(CN)_6]^{3-}$  অপেক্ষা অনেক বেশি কেন?

$[Fe(H_2O)_6]^{3+}$  লিগান  $Fe^{III}$ , high spin state থাকে, যার ইলেকট্রনিক কনফিগারেশন  $t_{2g}^3 e_g^2$  অর্থাৎ 5টি নিঃসঙ্গ ইলেকট্রন থাকে।

অপরদিকে  $[Fe(CN)_6]^{3-}$  লিগান  $Fe^{III}$ , low spin state এ থাকে, যার ইলেকট্রনিক কনফিগারেশন  $t_{2g}^5 e_g^0$  অর্থাৎ 1টি নিঃসঙ্গ ইলেকট্রন থাকে, তাই এটি দুর্বল paramagnetic (দৌল)।



\*  $Fe^{3+}/Fe^{2+}$  এবং  $Mn^{3+}/Mn^{2+}$  এর চিত্রিতকরণের মত  $Mn^{3+}/Mn^{2+}$  এর চিত্রিতকরণ

এর কারণ হল -

$Fe^{3+} \rightarrow d^5 \rightarrow$  অর্ধপূর্ণ ইলেকট্রনিক কনফিগারেশন  $\rightarrow \uparrow \uparrow \uparrow \uparrow \uparrow$

$Fe^{2+} \rightarrow d^6 \rightarrow$  অর্ধপূর্ণ অপেক্ষা একটি ইলেকট্রন বেশি।

অপরদিকে,  $Mn^{3+} \rightarrow d^4 \rightarrow$  অর্ধপূর্ণ অপেক্ষা একটি ইলেকট্রন বেশি।

$Mn^{2+} \rightarrow d^5 \rightarrow$  অর্ধপূর্ণ ইলেকট্রনিক কনফিগারেশন।

তাই  $Mn^{3+}$  অয়ন, অপরদিকে একটি ইলেকট্রন অতিরিক্ত  $Mn^{2+}$  অয়ন চাহিদা পূরণ করে, অর্ধপূর্ণ ইলেকট্রনিক কনফিগারেশন লাভ করে।

অপরদিকে  $Fe^{3+}$  একটি ইলেকট্রন অতিরিক্ত অর্ধপূর্ণ ইলেকট্রনিক কনফিগারেশন চাহিদা পূরণ করে, তাই  $Mn^{3+}/Mn^{2+}$  এর চিত্রিতকরণ চিত্রিতকরণের মত চমকিত হয়।

\*  $3d^{10}4s^1$

कक्षा-प्रति (अणु) d-कक्षक 10টি এবং s-কক্ষক 1টি ইলেকট্রন থাকবে যা অন্যত্র 3d সিলেন্ট থাকে আলাদা 2s, এই আলাদা হওয়ার কারণ হল অধিক উচ্চ 3d কক্ষকের আকর্ষণ বল।  
যদিও  $3d^{10}4s^1$  বিস্তারিত exchange energy 20K কিলো,  $3d^9 4s^2$  বিস্তারিত exchange energy-এর 16K ওয়ে  $3d^{10}4s^1$  বিস্তারিত অধিক অধিক 2s,

\*  $oxidation\ State$  :-

কক্ষক (অণু) +III, +II এবং +I  
কারণের কারণে  $Cu(III)$  যৌগগুলি অত্যন্ত বিরল  
আকারের হলে  $Cu(I)$  যৌগগুলি অধিক দ্রব  $disproportionation$   
বিজ্ঞান মাধ্যমে  $Cu(II)$  এবং  $Cu(0)$  কে চাঙ্কিত 2s,

\* জ্যোতিষ্মিত হলে  $Cu(II)$  আয়নের ঘন (দ্রব) সাদৃশ্য  
বলিত 2s, 14বর্তী হলে  $[Cu(NH_3)_4(H_2O)_2]$  যৌগ উৎপন্ন 2s,

\* কক্ষক জ্যোতিষ্মিত :- এই যৌগটি  $dimer$   
হিসাবে থাকে,  $[Cu_2(OH)_4] \cdot 2H_2O$ । কক্ষক যৌগটি  
 $Cu(II)$  আয়ন হিসাবে থাকে, যা  $3d^9$  ইলেকট্রন বিস্তারিত  
 $3d^9 4s^0$  or  $t_{2g}^6 e_g^3$  অর্থাৎ একটি নিঃশব্দ ইলেকট্রন  
থাকে দুটি  $Cu(II)$  আয়নের দুটি নিঃশব্দ ইলেকট্রন  
চারপাশের অধিক বিকসিত মুখী হওয়ার জন্য যৌগটি  
 $magnetic\ moment$  এর মান বেশ 2s,  $2.8$  মান  
যা  $1.4\ B.M / Cu^{2+}\ ion\ 2s$

\* জলীয়  $Cu^{2+}$  প্রদর্শিত বর্ণ নীল বর্ণিত হয়। কারণ  $Cu^{2+}$  আয়ন 800-900 nm অর্থাৎ লাল বর্ণিত আলোকরশ্মি শোষিত করে, d-d প্রান্তিকরণের জন্য এই আলোকরশ্মি শোষিত করে।

বিলুপ্ত  $Cu^{2+}$  এর জলীয় প্রদর্শিত লাল বর্ণিত আলোকরশ্মি শোষিত করে।  
 বর্ণ সাধু নীল বর্ণিত হয় কারণ  $Cu(H_2O)_6^{2+}$  জোড়টি  $(Cu(H_2O)_6)^{2+}$  জোড়টি d-d প্রান্তিকরণের জন্য 600nm আলোকরশ্মি শোষিত করে।  
 কারণ লাল বর্ণিত আলোকরশ্মি শোষিত করে আলোকরশ্মি শোষিত করে কারণ  $H_2O$  অসম্পূর্ণ লাল strong field লিগ্যান্ড।

\* জলীয় প্রদর্শিত  $Cu(I)$  অস্বাভাবিক। অর্থাৎ disproportionate  
 হয়  $Cu^0$  এবং  $Cu^{II}$  আয়ন গঠিত হয়।  

$$Cu(I) \rightleftharpoons Cu^0 + Cu(II)$$

প্রদর্শিত হয় -  $Cu^{2+}$  আয়নের আকার ছোট এবং অধিকতর বেশি  
 হওয়ায়  $Cu^{2+}$  আয়নের শক্তি উচ্চতর মাত্রি,  $Cu^+$  আয়ন  
 অস্বাভাবিক বেশি হয়। - অধিকতর বেশি হওয়ায় -  $Cu^{2+}$  আয়নের  
 কারণ  $H_2O$  উন্নত dipole-ion interaction (পরিষ্কার)  
 তাই  $Cu^+$  আয়ন  $Cu^0$  এবং  $Cu^{2+}$  আয়ন গঠিত হয়।

\*  $Cu^+$  আয়নের অধিকতর কম হওয়ায়, এই আয়নটি  $LN$ , bpy  
 এই লিগ্যান্ড  $\pi$ -acid লিগ্যান্ডের মতো অস্বাভাবিক যোগ প্রদর্শিত করে।  
 কারণ  $Cu^+$  আয়ন  $Cu^{2+}$  আয়ন অস্বাভাবিক সঠিকভাবে  $\pi$ -donor  
 আয়ন গঠন soft-soft interaction soft-hard interaction  
 অস্বাভাবিক সঠিকভাবে তাই,  $Cu^+$  আয়ন যারি  $\pi$  soft  
 আয়ন যারি  $\pi$  soft আয়ন  $LN$  -  $\pi$   $\pi$   $\pi$   $\pi$   
 অস্বাভাবিক যোগ করে।